

Теория динамических напряжений, возникающих в верхней подвеске аэростатно-канатной системы.

А.В. Абузов¹, Н.В. Казаков¹, В.И. Иванов²

¹Тихоокеанский государственный университет

²Дальневосточный государственный университет путей сообщений

Аннотация: В статье описывается возможность использования системы аэростатно-канатный спуск на транспортных операциях в труднодоступных горных условиях. Отражена зависимость системы от ветровых воздействий. Исходя из этого, приводится методика расчета динамических напряжений, которые возникают в верхней подвеске системы, с учетом подвижности аэростата под действием ветра. Методика позволяет оценивать напряжение, возникающее в верхней и нижней точки подвески при изменении силы ветра, длины подвески, угла и скорости отклонения аэростата.

Ключевые слова: аэростатно-канатная система, лесотранспортные операции, колебания каната, динамические напряжения каната.

Лесозаготовительные операции в труднодоступных горных условиях требуют внедрения в процесс первичной транспортировки древесины технологий, обеспечивающих максимальный грузопоток древесины, но с минимальными трудозатратами на строительство подъездных путей [1-4]. Одним из перспективных направлений, основанным на способе воздушной транспортировки древесины, является использование системы аэростатно-канатный спуск, которая способна выполнять переброску подтрелеванных к ней пачек заготовленной древесины на расстояние до 2-3 км [5, 6]. Основная схема аэростатно-канатного спуска представлена на рис. 1.

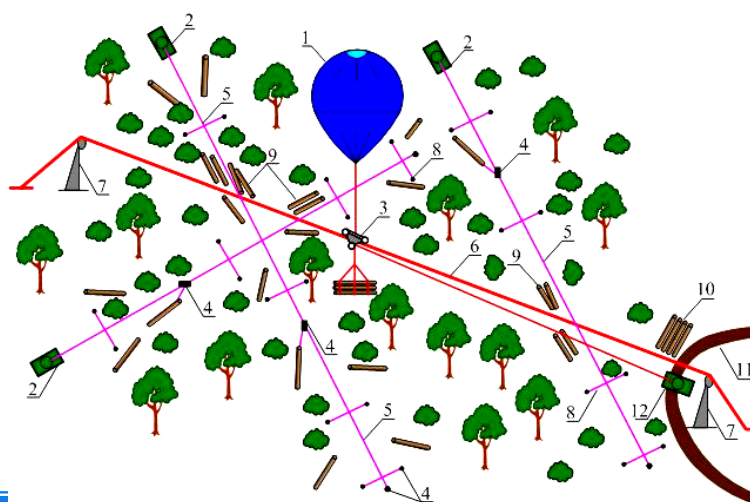


Рис. 1. – Аэростатно-канатный спуск для транспортировки древесины

Однако, в условиях горной местности, где присутствуют нисходящие и восходящие потоки ветра, влияющие на подвижность аэростата, требуются дополнительные исследования по оценке динамических усилий, возникающие в месте крепления подвески аэростата с кареткой, закрепленной на направляющем несущем канате [7, 8].

Основная расчетная схема, отражающая движение аэростата под действием порыва ветра, представлена на рис. 2.

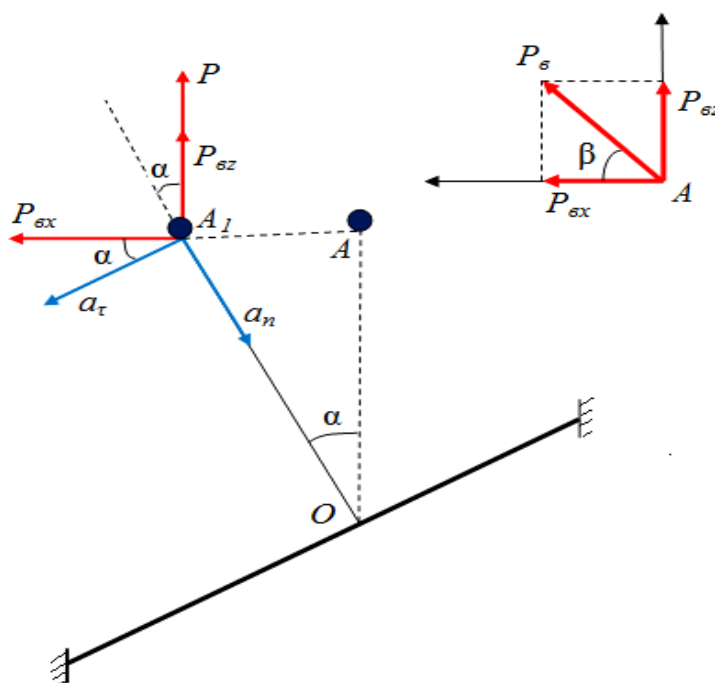


Рис. 2. – Основная расчетная схема

Зададим, что точка A – это положение аэростата без ветра, точка A_1 положение аэростата в произвольный момент времени t . Считаем, что в точке O верхняя подвеска закреплена неподвижно. Величину ветровой нагрузки P_B и её направление считаем постоянной при $t > 0$, тогда горизонтальная составляющая ветровой нагрузки $P_{Bx} = P_B \cos \beta$, вертикальная $P_{Bz} = P_B \sin \beta$.

Поскольку аэростат движется по окружности радиуса L_6 (L_6 – длина верхней подвески), запишем уравнение движения в естественных координатах

$$M_{a_\tau} = P_B \cos \beta \cos \alpha - (P + P_B \sin \beta) \sin \alpha \quad (1)$$

$$M_{a_n} = S_B - (P + P_B) \cos \alpha - P_B \cos \beta \sin \alpha \quad (2)$$

где $M = (m_a + m_{np})$ – суммарная масса аэростата с газом (m_a) и присоединенной массы воздуха (m_{np}) [9]; P – подъемная сила аэростата; α – угол отклонения верхней подвески от вертикали; P_6 – результирующая ветровой нагрузки; S_B – сила натяжения верхней подвески в точке A_1 ; β – угол отклонения вектора ветровой нагрузки от горизонтальной оси x ; a_n – ускорение нормальное, a_τ – ускорение тангенциальное.

Используя источник [10], выразим ускорения через угловую скорость $\omega = \frac{d\alpha}{dt}$, тогда:

$$a_n = \omega^2 L_6 \quad (3)$$

$$a_\tau = L \frac{d\omega}{dt} \quad (4)$$

При этом уравнения (1-2) преобразуются к виду:

$$ML_6 \frac{d\omega}{dt} = P_B \cos \beta \cos \alpha - (P + P_B \sin \beta) \sin \alpha \quad (5)$$

$$M\omega^2 L_6 = S_B - (P + P_B \sin \beta) \cos \alpha - P_B \cos \beta \sin \alpha \quad (6)$$

Рассмотрим уравнение (5). При некотором значении $\alpha = \alpha_s$ правая часть равна нулю, что указывает на положение равновесия:

$$\operatorname{tg} \alpha_s = \frac{P_B \cos \beta}{P + P_B \sin \beta} \quad (7)$$

Введем новую переменную $\gamma = (\alpha_s - \alpha)$, тогда уравнение (5) примет вид:

$$ML_6 \frac{d\omega}{dt} = (P + P_B \sin \beta) \cos \alpha_s (\operatorname{tg}^2 \alpha_s + 1) \sin \gamma \quad (8)$$

Полученное уравнение описывает нелинейные колебания вокруг положения равновесия:

$$\frac{d^2 \gamma}{dt^2} = -\omega_0^2 \sin \gamma \quad (9)$$

где введено обозначение:

$$\omega_0^2 = \frac{(P + P_B \sin \beta) \cos \alpha_s (tg^2 \alpha_s + 1)}{ML_g} \quad (10)$$

Время движения аэростата до положения точки равновесия равно четверти периода и выражается через эллиптический интеграл:

$$\tau = \omega_0^{-1} K\left(\sin\left(\frac{\alpha_s}{2}\right)\right) \quad (11)$$

где $K(k)$ – полный эллиптический интеграл первого рода:

$$K(k) = \int_0^{\pi/2} \frac{dx}{\sqrt{1 - k^2 \sin^2 x}} \quad (12)$$

Значение интеграла табулировано, однако, для практики (при $\alpha_s \leq \pi/2$) достаточно следующего приближения (с учетом разложения функции $K(k)$):

$$\tau = \frac{\pi}{2\omega_0} \left(1 + \frac{\alpha_0^2}{16} + \dots\right) \quad (13)$$

При $\alpha_s \leq \frac{\pi}{2}$ можно ограничиться первым слагаемым с достаточной точностью.

Тогда для определения силы натяжения S_g верхней подвески рассмотрим уравнение (6), преобразованное с учетом замены $\gamma = (\alpha_s - \alpha)$

$$\omega^2 L_g = S_B - (P + P_B \sin \beta) \cos \alpha_s (tg^2 \alpha_s + 1) \cos \gamma \quad (14)$$

При этом максимальное значение S_B достигается при $\gamma = 0$:

$$S_B^{\max} - (P + P_B \sin \beta) \cos \alpha_s (tg^2 \alpha_s + 1) + M\omega^2 L_B \quad (15)$$

Первое слагаемое S_6 соответствует покою в состоянии равновесия (аэростат не движется). Для оценки второго слагаемого найдем решение уравнения (9), преобразуя его в уравнение 1-го порядка:

$$\omega \frac{d\omega}{d\gamma} = \omega_0^2 \sin \gamma \quad (16)$$

Интегрируя уравнение с разделяющимися переменными, имеем:

$$-\frac{\omega^2}{2} = (\omega_0^2 \cos \gamma + c) \quad (17)$$

где константу интегрирования C определяем из начальных условий (при $t=0$ $\omega(t)=0$):

$$0 = \omega_0^2 \cos \gamma + c \quad (18)$$

Окончательно получаем:

$$\omega^2 = 2\omega_0^2 (\cos \alpha_s - \cos \gamma) \quad (19)$$

Подставляя $\omega_{\max}^2 = 2\omega_0^2 \cos \alpha_s$ в отношение 2-го слагаемого S_B к S_{B_s} получим отношение:

$$\frac{S_B}{S_{B_s}} = 2 \cos \alpha_s \quad (20)$$

Для малых углов отклонения ($\alpha < 0,1$) можно провести более детальное аналитическое исследование. На практике это соответствует случаям малых ветровых нагрузок, когда $\frac{P_B}{P} \leq 0,1$. В этом случае при расчете S_B можно учесть затухание возникших колебаний подвески. Учитывая, что для малых углов α можно положить $\sin \alpha = \alpha$, $\cos \alpha \approx 1$, из уравнения (5) имеем:

$$ML_6 \frac{d^2 \alpha}{dt^2} = P_B \cos \beta - (P + P_B \sin \beta) \alpha \quad (21)$$

Найдем скорость движения аэростата относительно воздушной среды:

$$V_{\text{отн}} = (V_{\text{ВХ}} - \omega L_{\text{г}}) \quad (22)$$

где $V_{\text{ВХ}}$ – горизонтальная скорость ветра.

Зная, что:

$$P_B = C_B (V_{\text{ВХ}} - \omega L_{\text{г}})^2 \approx C_B V_{\text{ВХ}}^2 - 2C_B V_{\text{ВХ}} \omega L_{\text{г}} \quad (23)$$

Тогда выражение (21) можно переписать в виде:

$$\frac{d^2 \alpha}{dt^2} + \left(\frac{2P_B \cos \beta}{MV_{\text{ВХ}}} \right) \frac{d\alpha}{dt} + \left(\frac{P + P_B \sin \beta}{ML} \right) \alpha = \frac{P_B \cos \beta}{ML} \quad (24)$$

Полученное уравнение (24) является уравнением затухающих колебаний, которое можно записать в стандартном виде:

$$\frac{d^2 \alpha}{dt^2} + 2\chi \frac{d\alpha}{dt} + \gamma_0^2 \alpha = F_0 \quad (25)$$

где введены обозначения:

$$\gamma_0 = \sqrt{\frac{(P + P_B \sin \beta)}{ML}} \text{ – частота «свободных» колебаний;}$$

$$X = \frac{P_B \cos \beta}{MV_{\text{ВХ}}} \text{ – постоянная затухания;}$$

$$F_0 = \frac{P_B \cos \beta}{ML} \text{ – постоянная сила.}$$

Решение (25) ищем как сумму общего решения однородного уравнения ($F_0 = 0$) и частного решения неоднородного уравнения. Решение однородного уравнения ищем в виде $\alpha = e^{pt}$, подставляя которое в (25) при $F_0 = 0$ получаем характеристическое уравнение:

$$v_{1,2} = -\chi \pm \sqrt{\chi^2 - v_0^2} \quad (26)$$

Вид решения зависит от соотношения χ и v_0 . Для малого затухания ($\chi < v_0$) решение носит колебательный характер с затухающей амплитудой:

$$\alpha = A_1 e^{\nu t} + A_2 e^{\nu_0 t} \quad (27)$$

В этом случае можем записать общее решение уравнения (25), как сумму общего решения однородного уравнения (27) и частного решения неоднородного уравнения, например $\alpha = \alpha_s$, где α_s – угол отклонения, соответствующий равновесному положению, когда, $\frac{d\alpha}{dt} = 0$:

$$\alpha = B e^{-\chi t} \cos(\nu t + \varphi_0) + \alpha_s \quad (28)$$

где B и φ_0 – постоянные интегрирования, которые определены из начальных условий ($\alpha(0) = 0, \omega(0) = 0$):

$$B \cos \varphi_0 + \alpha_s = 0 \quad (29)$$

$$-\chi \cos \varphi_0 + \nu \sin \varphi_0 = 0 \quad (30)$$

Окончательно для общего решения получаем:

$$\alpha(t) = \alpha_s \left(1 - e^{-\chi t} \left(\cos \nu t + \frac{\chi}{\nu} \sin \nu t \right) \right) \quad (31)$$

$$\omega = \alpha^1 = \alpha_s e^{-\chi t} \nu \left(\frac{\chi^2}{\nu^2} + 1 \right) \sin \nu t \quad (32)$$

Для большого затухания ($\chi > \nu_0$) движение аperiodично и корни $\nu_{1,2}$ – действительные. Для отношения χ и ν_0 имеем:

$$\frac{\chi}{\nu_0} = \sqrt{\frac{P_B \cos \beta L L_B}{M(P + P_B \sin \beta)}} \quad (33)$$

$$\frac{\chi}{\nu_0} = \sqrt{\frac{L_B \cos \beta P_B}{R P}} \quad (34)$$

где R – радиус азростата.

Таким образом, затухание колебаний происходит для случая:

$$\frac{P_B \cos \beta}{P} \geq \frac{R}{L_B} \quad (35)$$

Для этого случая решение ищем в виде:

$$\alpha = A_1 e^{-(\chi+\delta)t} + A_2 e^{-(\chi-\delta)t} \quad (36)$$

где $\delta = \sqrt{\chi^2 - \nu_0^2}$; A_1 и A_2 – константы интегрирования.

Частное решение уравнения (25) будет иметь вид:

$$\alpha_s = \frac{F_0}{\nu^2} \quad (37)$$

где α_s соответствует установившемуся углу отклонения при $t \rightarrow \infty$.

Тогда общее решение уравнения (25) примет вид:

$$\alpha = A_1 e^{-(\chi+\delta)t} + A_2 e^{-(\chi-\delta)t} + \frac{F_0}{\nu^2} \quad (38)$$

Используя начальные условия, для определения A_1 и

A_2 ($\alpha(0) = 0, \omega(0) = 0$) запишем:

$$0 = A_1 + A_2 + \frac{F_0}{\nu^2} \quad (39)$$

$$0 = -A_1(\chi + \delta) - A_2(\chi - \delta) \quad (40)$$

Подставляя A_1 и A_2 , имеем в итоге:

$$\alpha = \alpha_s \left\{ \frac{(\chi - \delta)e^{-(\chi-\delta)t}}{2\delta} - \frac{(\chi + \delta)e^{-(\chi+\delta)t}}{2\delta} + 1 \right\} \quad (41)$$

или

$$\alpha = \alpha_s \left\{ \frac{e^{-\chi t} (\chi S_B(\delta t) - \delta S_B(\delta t))}{\delta} + 1 \right\} \quad (42)$$

Для получения зависимости силы натяжения S_B используем (41-42) для $\omega(t)$:

$$\omega(t) = \frac{\alpha_s}{2\delta} (\chi^2 - \delta^2) e^{-\chi t} [e^{\chi t} - e^{-\chi t}] \quad (43)$$

или

$$\omega(t) = \frac{\alpha_s}{2\delta} (\chi^2 - \delta^2) e^{-\chi t} S_B(\delta t) \quad (44)$$

Итого окончательно из выражения (6) используя уравнения (43-44) можно найти S_B :

$$S_B = P_B \cos \beta \alpha + (P + P_B \sin \beta) + ML_B \omega^2 \quad (45)$$

Заключение

Предложенная методика позволяет выполнять расчеты динамических напряжений, возникающих в канате верхней подвески аэростата с учетом:

1. Отклонения и колебания подвески в определенный период времени;
2. Изменения подъемной силы аэростата, а также силы и направления ветра;
3. Изменения длины каната верхней подвески.

Литература

1. Абузов А.В. Лесотранспортные системы: новые возможности и перспективы развития // Состояние лесов и актуальные проблемы лесопользования: материалы Всерос. конф. с междунар. участием. Хабаровск: Изд-во ФБУ «ДальНИИЛХ», 2013. С. 101 – 104.
 2. Абузов А.В. Основные технологические направления по освоению горных лесов Дальневосточного региона // Вестник ТОГУ. 2013. №3(30). С. 92–100.
 3. Галактионов О.Н., Кузнецов А.В. Исследование взаимосвязи технологической проходимости лесозаготовительных машин с параметрами лесной среды // Инженерный вестник Дона, 2012, №4 (часть 1) URL: ivdon.ru/ru/magazine/archive/n4p1y2012/1145.
 4. Шегельман И.Р., Кузнецов А.В., Скрыпник В.И., Баклагин В.Н. Методика оптимизаций транспортно-технологического освоения лесосырьевой базы с минимизацией затрат на заготовку и вывозку древесины // Инженерный вестник Дона, 2012, №4 (часть 2) URL: ivdon.ru/ru/magazine/archive/n4p2y2012/1284.
 5. Абузов А.В. Альтернативные транспортные системы, как направление рационального лесозаготовительного процесса // Актуальные проблемы
-

развития лесного комплекса: материалы международной научно-технической конференции. Вологда: ВоГТУ, 2012. С. 60 – 63.

6. Буткин В.Д. Аэростатно-канатные транспортные системы для открытых горных работ // Горный журнал, 1998. №6. С. 56 – 57.
7. Guimier, D.Y. and G. Vern, 1984. Well Burn Logging with heavy-lift airships. FERIC, Technical Report, TR-58, May: 115 p.
8. Gregory L. Bearty, 1983. Pendulum Balloon Logging System: Dynamic Model. Oregon State University, November: 40 p.
9. Бойко Ю.С. Воздухоплавание: Привязное. Свободное. Управляемое. М: МГУП, 2001. 462 с.
10. Апфель П. Теоретическая механика. Статика. Динамика точки (том 1). М: Физмагиз, 1960. 515 с.

References

1. Abuzov A.V. Lesotransportnye sistemy: novye vozmozhnosti i per-spektivy razvitiya [Ecotransport systems: new possibilities and prospects of development]. Sostoyanie lesov i aktual'nye problemy lesoupravleniya: materialy Vseros. konf. s mezhdunar. uchastiem. Khabarovsk: Izd-vo FBU «Dal'NIILKh», 2013. pp. 101 – 104.
2. Abuzov A.V. Vestnik TOGU. 2013. №3(30). pp. 92–100.
3. Galaktionov O.N., Kuznetsov A.V. Inženernyj vestnik Dona (Rus), 2012, №4 (chast' 1) URL: ivdon.ru/ru/magazine/archive/n4p1y2012/1145.
4. Shegel'man I.R., Kuznetsov A.V., Skrypnik V.I., Baklagin V.N. Inženernyj vestnik Dona (Rus), 2012, №4 (chast' 2) URL: ivdon.ru/ru/magazine/archive/n4p2y2012/1284.
5. Abuzov A.V. Al'ternativnye transportnye sistemy, kak napravlenie ratsional'nogo lesozagotovitel'nogo protsessa [Alternative transportation system, as the direction of rational logging process]. Aktual'nye problemy razvitiya lesnogo kompleksa: materialy mezhdunarodnoy nauchno-tekhnicheskoy konferentsii. Vologda: VoGTU, 2012. pp. 60 – 63.
6. Butkin V.D. Gornyy zhurnal, 1998. №6. pp. 56 – 57.



7. Guimier, D.Y. and G. Vern, 1984. Well Burn Logging with heavy-lift airships. FERIC, Technical Report, TR-58, May: 115 p.
8. Gregory L. Bearty, 1983. Pendulum Balloon Logging System: Dynamic Model. Oregon State University, November: 40 p.
9. Boyko Yu.S. Vozdukhoplavanie: Privyaznoe. Svobodnoe. Upravlyаемое [Aeronautics: Tied. Free. Managed]. M: MGUP, 2001. 462 p.
10. Appel' P. Teoreticheskaya mekhanika. Statika. Dinamika tochki (tom 1) [Theoretical Mechanics. Statics. Dynamics of a point (Volume 1)]. M: Fizmagiz, 1960. 515 p.